

· 论 著 · DOI:10.3969/j.issn.1672-9455.2021.08.018

# 血清 STIP-1、CA125a 和 CA125b 诊断子宫腺肌病的临床价值

江烨伶

复旦大学附属妇产科医院妇科, 上海 200082

**摘要: 目的** 观察血清磷酸化应激诱导蛋白 1(STIP-1)、CA125a 和 CA125b 对子宫腺肌病的诊断价值。

**方法** 选择 2018 年 1 月至 2019 年 12 月在该院就诊、病理确诊为子宫腺肌病的患者 93 例为子宫腺肌病组。选择同期在该院健康体检者 49 例为健康对照组。观察两组研究对象血清 STIP-1、CA125a、CA125b 和 CA125 水平的变化及对子宫腺肌病的诊断效能; 观察血清 STIP-1、CA125a 和 CA125b 水平与子宫腺肌病严重程度、痛经的关系, 以及 STIP-1、CA125a 和 CA125b 之间的相关性。**结果** 子宫腺肌病组患者血清 STIP-1、CA125a、CA125b 和 CA125 水平明显高于健康对照组( $P < 0.01$ )。血清 STIP-1、CA125a 和 CA125b 水平对子宫腺肌病的诊断效能明显优于 CA125( $P < 0.05$ ); STIP-1、CA125a、CA125b 三者联合检测的灵敏度为 94.6%, 特异度为 91.8%, 受试者工作特征曲线下面积(AUC)为 0.975, 均明显高于 STIP-1、CA125a 和 CA125b 单项检测, 而 STIP-1、CA125a 和 CA125b 3 项单项检测的灵敏度、特异度、AUC 差异均无统计学意义( $P > 0.05$ )。子宫腺肌病患者血清 STIP-1、CA125a 和 CA125b 水平随着病理分级升高而升高, 有痛经的患者血清 STIP-1、CA125a 和 CA125b 水平高于无痛经的患者( $P < 0.05$ )。子宫腺肌病患者血清 STIP-1 水平与 CA125a( $r = 0.761, P < 0.01$ )和 CA125b 水平( $r = 0.814, P < 0.01$ )呈正相关, 而 CA125a 水平与 CA125b 水平呈正相关( $r = 0.786, P < 0.01$ )。**结论** 血清 STIP-1、CA125a 和 CA125b 参与了子宫腺肌病的病理生理过程, 在诊断子宫腺肌病时具有较高的诊断效能, 值得临床推广。

**关键词:** 子宫腺肌病; CA125; 磷酸化应激诱导蛋白 1; 诊断效能; 痛经

中图法分类号: R446

文献标志码: A

文章编号: 1672-9455(2021)08-1097-04

## Clinical value of serum STIP-1, CA125a and CA125b in diagnosis of adenomyosis

JIANG Yeling

Department of Gynecology, Affiliated Obstetrics and Gynecology Hospital,  
Fudan University, Shanghai 200082, China

**Abstract: Objective** To observe the diagnostic value of serum stress-induced phosphoprotein 1 (STIP-1), CA125a and CA125b in adenomyosis. **Methods** A total of 93 patients with pathologically diagnosed adenomyosis treated in this hospital from January 2018 to December 2019 were selected as the adenomyosis group. Forty-nine people undergoing healthy physical examination in this hospital at the same period were selected as the healthy control group. The changes of serum STIP-1, CA125a, CA125b and CA125 levels were observed in the two groups, their diagnostic efficiency in the adenomyosis was also observed, the relationship between the serum levels of STIP-1, CA125a and CA125b with the severity of adenomyosis and dysmenorrhea and the relationship among STIP-1, CA125a and CA125b was observed. **Results** The levels of serum STIP-1, CA125a, CA125b and CA125 in the adenomyosis group were significantly higher than those in the healthy control group ( $P < 0.01$ ). The efficiency of serum STIP-1, CA125a and CA125b levels for diagnosing adenomyosis was significantly better than that of CA125 ( $P < 0.05$ ). The sensitivity of combined detection of STIP-1, CA125a and CA125b was 94.6%, specificity was 91.8%, and AUC was 0.975, which were significantly higher than those of STIP-1, CA125a and CA125b single detection, and there was no statistically significant difference in the sensitivity, specificity and AUC of STIP-1, CA125a and CA125b single detection ( $P > 0.05$ ). The levels of serum STIP-1, CA125a and CA125b in the patients with adenomyosis were increased with the increase of pathological grade, and their levels were higher than those in the patients with non-dysmenorrhea ( $P < 0.05$ ). The serum STIP-1 level in the patients with adenomyosis was positively correlated with CA125a ( $r = 0.761, P < 0.01$ ) and CA125b ( $r = 0.814, P < 0.01$ ), and CA125a was positively correlated with CA125b ( $r = 0.786, P < 0.01$ ). **Conclusion** Serum STIP-1, CA125a and CA125b are involved in the pathophysiological process of adenomyosis, and have a high diagnostic efficiency in the diagnosis of adenomyosis, which is worthy of clinical promotion.

**Key words:** adenomyosis; CA125; stress-induced phosphoprotein 1; diagnostic efficacy; dysmenorrhea

作者简介: 江烨伶, 女, 护师, 主要从事子宫肌瘤和子宫腺肌病等疾病的干预研究。

本文引用格式: 江烨伶. 血清 STIP-1、CA125a 和 CA125b 诊断子宫腺肌病的临床价值[J]. 检验医学与临床, 2021, 18(8): 1097-1100.

子宫内膜异位症中有一种特殊类型为子宫腺肌病,是引起女性不孕的常见原因,以痛经、月经失调和不孕等为主要临床表现,往往发生在 40 岁以上的妇女,并且其发病率呈逐年上升的趋势。由于子宫腺肌病患者的症状和体征往往复杂多变,超过 25% 的患者无任何症状和体征,对这些患者的诊断往往具有一定的难度<sup>[1-2]</sup>。传统对子宫腺肌病的诊断主要靠临床症状、体征和 B 超等检查,往往无法准确和快速地确诊,最终需要病理检查来确诊,但由于其具有创伤性,并不适合早期的诊断<sup>[3-4]</sup>。血清 CA125 和中性粒细胞/淋巴细胞比值(NLR)在腺肌病的检测具有一定的临床价值,但其诊断效能仍有提升空间<sup>[5-6]</sup>。现有研究显示,磷酸化应激诱导蛋白 1(STIP-1)在子宫腺肌病组织中过度表达<sup>[7]</sup>,子宫腺肌病患者血清 STIP-1 水平出现明显升高<sup>[8]</sup>,但对子宫腺肌病的诊断是否有价值仍不清楚。本研究通过对 NLR 和 CA125 指标的改良,并结合血清 STIP-1 水平观察这些指标对子宫腺肌病的诊断价值,现报道如下。

## 1 资料与方法

**1.1 一般资料** 选择 2018 年 1 月至 2019 年 12 月在本院就诊、病理确诊为子宫腺肌病的 93 例患者为子宫腺肌病组,患者年龄 35~59 岁、平均(47.56±6.34)岁,平均体质量(56.27±4.37)kg,病程 2~8 年、平均(5.62±1.06)年,有痛经 53 例、无痛经 40 例。纳入标准:(1)均由于患者经血过多行病理诊断确诊为子宫腺肌病;(2)均知情同意,并签字确认;(3)研究经医院伦理委员会审核通过。排除标准:合并其他妇科疾病;患肿瘤性疾病;有心、肝、肾等重要脏器功能不全;患高血压、糖尿病和冠心病等慢性疾病;有肝炎、结核和肺部感染等急慢性感染;有智力障碍和精神性疾病;患自身免疫性疾病。选择同期在本院健康体检者 49 例为健康对照组,年龄 37~59 岁、平均(46.91±7.18)岁,平均体质量(56.03±5.27)kg。两组研究对象年龄、体质量差异无统计学意义( $P>0.05$ )。

## 1.2 方法

**1.2.1 病理分级** 根据术后病理,按子宫腺肌病侵入子宫肌层深度分为 3 级:从内膜侵入肌层超过肌层中部为Ⅲ级,从内膜侵入子宫肌层中部为Ⅱ级,从内膜侵入子宫浅肌层为Ⅰ级。本研究子宫腺肌病患者Ⅰ 级 16 例、Ⅱ 级 24 例、Ⅲ 级 53 例。

**1.2.2 血清标本的留取和检测** 采集所有研究对象

空腹血约 5 mL,静置大约 30 min 予以离心,离心速度 3 000 r/min,离心半径为 15 cm,离心 15 min,留取上清液。采用酶联免疫吸附试验检测血清 STIP-1 和 CA125 水平,将需要检测标本和试剂恢复到室温,按照试剂盒说明书操作,采用酶标仪检测各个检测孔的吸光度(A),检测的波长设定为 450 nm,参照波长为 630 nm,根据标准样品 A 值绘制出标准曲线,然后将样品孔的 A 值代入标准曲线,计算出 STIP-1 和 CA125 水平。血常规采用自动生化仪进行检测,并检测出血小板(PLT)、淋巴细胞和中性粒细胞水平。试剂盒采用由美国 Syntron 公司生产。NLR 为中性粒细胞与淋巴细胞的比值,对 CA125 改良分别记为 CA125a 和 CA125b,CA125a=lg(CA125×PLT×10<sup>9</sup>),CA125b=lg(CA125×NLR)。

**1.2.3 观察指标** (1)观察健康对照组和子宫腺肌病组血清 STIP-1、CA125a、CA125b 和 CA125 水平的变化,以及这 3 项指标诊断子宫腺肌病的效能。(2)观察血清 STIP-1、CA125a 和 CA125b 水平与子宫腺肌病严重程度、痛经的关系,以及 STIP-1、CA125a 和 CA125b 之间的相关性。

**1.3 统计学处理** 采用 SPSS17.0 对数据进行统计分析,正态分布的计量资料以  $\bar{x}\pm s$  表示,组间比较采用 t 检验;计数资料以例数或百分率表示,组间比较采用  $\chi^2$  检验;用受试者工作特征(ROC)曲线分析各指标诊断子宫腺肌病的效能;以  $P<0.05$  为差异有统计学意义。

## 2 结 果

**2.1 两组受试者血清 STIP-1、CA125a、CA125b 和 CA125 水平的比较** 从表 1 可知,子宫腺肌病组患者血清 STIP-1、CA125a、CA125b 和 CA125 水平明显高于健康对照组( $P<0.01$ )。

**2.2 血清 STIP-1、CA125a、CA125b 和 CA125 诊断子宫腺肌病的效能** 从表 2 和图 1 可知,血清 STIP-1、CA125a 和 CA125b 水平对子宫腺肌病的诊断效能明显优于 CA125( $P<0.05$ ),综合 3 个指标进行 Logistic 回归得方程  $Y=2.27\times X_{STIP-1}+1.65\times X_{CA125a}+2.04\times X_{CA125b}-48.74$ ,STIP-1、CA125a、CA125b 联合检测的灵敏度为 94.6%,特异度为 91.8%,AUC 为 0.975,均明显高于 STIP-1、CA125a 和 CA125b 单项检测( $P<0.001$ ),而 STIP-1、CA125a 和 CA125b 单项检测的灵敏度、特异度、AUC 比较差异均无统计学意义( $P>0.05$ )。

表 1 两组受试者血清 STIP-1、CA125a、CA125b 和 CA125 水平的比较( $\bar{x}\pm s$ )

组别	n	STIP-1(ng/mL)	CA125a	CA125b	CA125(U/mL)
健康对照组	49	1.42±0.70	12.69±0.84	10.65±0.89	84.84±21.90
子宫腺肌病组	93	2.51±0.88	14.14±1.16	12.01±0.82	121.00±37.56
t		7.505	8.534	9.121	7.238
P		<0.001	<0.001	<0.001	<0.001

表 2 血清 STIP-1、CA125a、CA125b 和 CA125 诊断子宫腺肌病的效能比较

指标	截断值	灵敏度(%)	特异度(%)	AUC	95%CI
STIP-1	>1.73 ng/mL	81.5	73.5	0.830	0.757~0.888
CA125a	>13.55	72.8	85.7	0.842	0.771~0.898
CA125b	>11.43	75.0	87.8	0.884	0.819~0.932
CA125	>93.18 U/mL	72.8	67.3	0.711	0.629~0.784
STIP-1+CA125a+CA125b		94.6	91.8	0.975	0.933~0.994

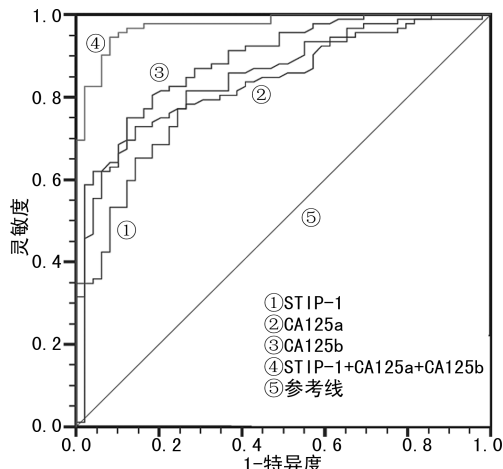


图 1 血清 STIP-1、CA125a、CA125b 和 CA125 诊断子宫腺肌病的 ROC 曲线分析

**2.3 血清 STIP-1、CA125a 和 CA125b 水平与子宫腺肌病病理分级的关系** 从表 3 可知, 子宫腺肌病病理Ⅲ级患者的血清 STIP-1、CA125a 和 CA125b 水平明显高于Ⅱ级和Ⅰ级( $P < 0.01$ ), 且Ⅱ级患者 STIP-1、CA125a 和 CA125b 水平同样明显高于Ⅰ级患者( $P < 0.01$ )。

表 3 血清 STIP-1、CA125a 和 CA125b 水平与子宫腺肌病病理分级的关系( $\bar{x} \pm s$ )

分级	n	STIP-1(ng/mL)	CA125a	CA125b
I 级	16	1.23±0.36	12.38±0.31	10.75±0.25
II 级	24	1.97±0.19 <sup>a</sup>	13.51±0.35 <sup>a</sup>	11.56±0.23 <sup>a</sup>
III 级	53	3.11±0.58 <sup>ab</sup>	14.92±0.77 <sup>ab</sup>	12.57±0.49 <sup>ab</sup>
F		112.739	112.301	139.990
P		<0.001	<0.001	<0.001

注: 与 I 级比较,<sup>a</sup> $P < 0.01$ ; 与 II 级比较,<sup>b</sup> $P < 0.01$ 。

**2.4 血清 STIP-1、CA125a 和 CA125b 水平与痛经的关系** 从表 4 可知, 子宫腺肌病有痛经的患者血清 STIP-1、CA125a 和 CA125b 水平明显高于无痛经的患者( $P < 0.05$ )。

表 4 血清 STIP-1、CA125a 和 CA125b 水平与痛经的关系( $\bar{x} \pm s$ )

组别	n	STIP-1(ng/mL)	CA125a	CA125b
有痛经组	53	3.11±0.58	14.92±0.77	12.57±0.49
无痛经组	40	1.68±0.45	13.08±0.65	11.25±0.46
t		12.812	12.113	13.187
P		<0.001	<0.001	<0.001

**2.5 子宫腺肌病患者血清 STIP-1、CA125a 和 CA125b 水平之间的相关性** 子宫腺肌病患者血清

STIP-1 水平与 CA125a ( $r = 0.761, P < 0.01$ ) 和 CA125b 水平 ( $r = 0.814, P < 0.01$ ) 呈正相关, CA125a 水平与 CA125b 水平呈正相关 ( $r = 0.786, P < 0.01$ )。

### 3 讨论

子宫腺肌病是子宫内膜的腺体侵袭到子宫肌层生长, 常常由于痛经、月经量和生育能力明显下降, 导致患者生活质量下降<sup>[9-10]</sup>。当机体面临环境胁迫或者各种病理时, 细胞会产生各种胁迫信号, 导致基因和蛋白表达的改变, 表现为蛋白合成受到抑制, 而热休克蛋白(Hsp)出现明显的上调, 从而保护细胞免受胁迫的影响, 在此过程中 Hsp 有许多辅助伴侣分子的参与, STIP-1 为其中的一种<sup>[11]</sup>。STIP-1 主要位于人 11q13.1 染色体上, 含有 14 个外显子, 其作为磷酸化应激诱导蛋白, 能够与 Hsp70 和 Hsp90 结合成复合物, 同时与其他蛋白质结合成复合物, 参与了多种生物学通路的过程, 如蛋白质折叠、转录、信号转导和细胞分裂等病理生理过程, 近年来研究证实 STIP-1 参与了肿瘤细胞的生长、分化和增殖<sup>[12]</sup>。本研究显示, 子宫腺肌病组患者血清 STIP-1 水平明显高于健康对照组, 并且发现 STIP-1 在诊断子宫腺肌病时具有较高的灵敏度和特异度, 其水平随着子宫腺肌病病理分级的升高而表达增加( $P < 0.001$ ), 且在子宫腺肌病有痛经的患者血清 STIP-1 水平明显高于无痛经者( $P < 0.001$ )。关于 STIP-1 在子宫腺肌病中的文献较少, TSAI 等<sup>[7]</sup>研究发现, 子宫内膜异位症或者子宫腺肌病组织中 STIP-1 水平出现明显升高, 并且证实 STIP-1 基因表达是引起子宫内膜异位症或者子宫腺肌病的危险指标。另一项研究结果显示, 子宫腺肌病和子宫内膜异位症患者血清或者组织 STIP-1 水平出现明显升高, 敲低 STIP-1 表达后出现 MMP-9 的表达水平明显降低, 在体外试验中证实 STIP-1 与 MMP-9 启动子结合, 促进 MMP-9 的表达, 并认为 STIP-1 与子宫内膜异位症或者子宫腺肌病具有明显相关性<sup>[8]</sup>。血清 STIP-1 水平与子宫内膜异位症或者子宫腺肌病的研究仍较少, 结合本研究发现: STIP-1 不仅参与了子宫腺肌病的发生、发展, 而且在诊断子宫腺肌病方面具有重要的临床价值。

CA125 是卵巢癌的相关肿瘤标志物, 为一种糖蛋白抗原, 现已经被用于子宫腺肌病的诊断, 并且证实子宫腺肌病患者血清 CA125 水平是正常内膜患者的 2~4 倍, 在诊断子宫腺肌病方面有一定的辅助诊断价值<sup>[13-14]</sup>。由于血清 CA125 水平常常会受到多种因素

如盆腔炎、激素水平和月经周期的影响,因此单独检测 CA125 水平在诊断子宫腺肌病具有一定的局限性<sup>[15]</sup>。近年来研究显示,CA125、PLT 和中性粒细胞等直接参与了子宫内膜异位症的病理生理过程<sup>[15]</sup>。在子宫内膜异位症患者外周血中发现中性粒细胞升高,而淋巴细胞降低,导致 NLR 升高<sup>[17]</sup>,并且发现 NLR 升高与子宫内膜异位症严重程度呈正相关,联合 CA125 的检测能够提高诊断子宫内膜异位症的灵敏度和特异度<sup>[18]</sup>。本研究将 PLT 和 CA125 进行修正成 CA125a,将 NLR 和 CA125 整合成 CA125b,发现子宫腺肌病患者 CA125a 和 CA125b 水平与 CA125 一样高于健康对照组,并且发现 CA125a 和 CA125b 水平在诊断子宫腺肌病的效能明显优于 CA125,说明经过修正后的 CA125a 和 CA125b 诊断子宫腺肌病的效能有了明显提高,将参与子宫腺肌病中的炎症指标和肿瘤标志物整合到这些指标中,改良后的 CA125 更加能够体现诊断子宫腺肌病的价值。本研究还发现,CA125a 和 CA125b 水平与子宫腺肌病的病理分级呈正相关,同时子宫腺肌病有痛经的患者血清 CA125a 和 CA125b 水平明显高于无痛经的患者,说明 CA125a 和 CA125b 参与了子宫腺肌病的发生、发展。

本研究发现,子宫腺肌病患者血清 STIP-1 水平与 CA125a、CA125b 水平呈正相关,CA125a 水平与 CA125b 水平呈正相关,说明 STIP-1、CA125a 和 CA125b 存在某种联系,需要进一步研究。本研究还发现,联合 STIP-1、CA125a 和 CA125b 联合检测在诊断子宫腺肌病的灵敏度为 94.6%,特异度为 91.8%,而 AUC 为 0.975,均明显高于 STIP-1、CA125a 和 CA125b 单项检测,说明这 3 项指标在诊断子宫腺肌病方面具有一定的互补性,其内在机制仍需要进一步研究。

总之,血清 STIP-1、CA125a 和 CA125b 参与了子宫腺肌病的病理生理过程,对子宫腺肌病具有较高的诊断效能,值得临床推广。

## 参考文献

- [1] HABIBA M, PLUCHINO N, PETIGNAT P, et al. Adenomyosis and endometrial cancer: literature review[J]. Gynecol Obstet Invest, 2018, 83(4): 313-328.
- [2] BUGGIO L, MONTI E, GATTEI U, et al. Adenomyosis: fertility and obstetric outcome. A comprehensive literature review[J]. Minerva Ginecol, 2018, 70(3): 295-302.
- [3] VANNUCCINI S, PETRAGLIA F. Recent advances in understanding and managing adenomyosis[J]. F1000Res, 2019, 8: F1000 Faculty Rev-283.
- [4] ABBOTT J A. Adenomyosis and abnormal uterine bleeding (AUB-A)-pathogenesis, diagnosis, and management [J]. Best Pract Res Clin Obstet Gynaecol, 2017, 40: 68-81.
- [5] XIE M, YU H, ZHANG X, et al. Elasticity of adenomyosis is increased after GnRH $\alpha$  therapy and is associated with spontaneous pregnancy in infertile patients[J]. J Gynecol Obstet Hum Reprod, 2019, 48(10): 849-853.
- [6] ZHENG R, ZENG D, WAN T T, et al. Predisposing factors for predicting the therapeutic response of adenomyosis after uterine artery embolization: serum CA125 levels and accompanying endometriosis[J]. Diagn Interv Radiol, 2018, 24(6): 364-371.
- [7] TSAI C L, LEE Y S, CHAO A, et al. Associations between a single nucleotide polymorphism of stress-induced phosphoprotein 1 and endometriosis/adenomyosis [J]. Taiwan J Obstet Gynecol, 2018, 57(2): 270-275.
- [8] WANG H S, TSAI C L, CHANG P Y, et al. Positive associations between upregulated levels of stress-induced phosphoprotein 1 and matrix metalloproteinase-9 in endometriosis/adenomyosis [J]. PLoS One, 2018, 13 (1): e190573.
- [9] VAN DEN BOSCH T, VAN SCHOUW BROECK D. Ultrasound diagnosis of endometriosis and adenomyosis: state of the art[J]. Best Pract Res Clin Obstet Gynaecol, 2018, 51: 16-24.
- [10] STRUBLE J, REID S, BEDAIWY M A. Adenomyosis: a clinical review of a challenging gynecologic condition[J]. J Minim Invasive Gynecol, 2016, 23(2): 164-185.
- [11] DUONG-THI-LY H, NGUYEN-THI-THU H, NGUYEN-HOANG L, et al. Effects of genetic factors to inhaled corticosteroid response in children with asthma: a literature review[J]. J Int Med Res, 2017, 45(6): 1818-1830.
- [12] WU R, LIU F, PENG P, et al. Tumor stress-induced phosphoprotein 1 as a prognostic biomarker for breast cancer[J]. Ann Transl Med, 2018, 6(15): 302-306.
- [13] CHEN Q, LI Y W, WANG S, et al. Clinical manifestations of adenomyosis patients with or without pain symptoms[J]. J Pain Res, 2019, 12: 3127-3133.
- [14] NERIISHI K, HIRATA T, FUKUDA S, et al. Long-term dienogest administration in patients with symptomatic adenomyosis[J]. J Obstet Gynaecol Res, 2018, 44 (8): 1439-1444.
- [15] ZHENG R, ZENG D, WAN T T, et al. Predisposing factors for predicting the therapeutic response of adenomyosis after uterine artery embolization: serum CA125 levels and accompanying endometriosis[J]. Diagn Interv Radiol, 2018, 24(6): 364-371.
- [16] DING S, LIN Q, ZHU T, et al. Is there a correlation between inflammatory markers and coagulation parameters in women with advanced ovarian endometriosis? [J]. BMC Womens Health, 2019, 19(1): 169-173.
- [17] CHEN L, WANG X, SHU J, et al. Diagnostic value of serum D-dimer, CA125, and neutrophil-to-lymphocyte ratio in differentiating ovarian cancer and endometriosis[J]. Int J Gynaecol Obstet, 2019, 147(2): 212-218.
- [18] JIANG C, LIU C, GUO J, et al. CA125 modified by PLT and NLR improves the predictive accuracy of adenomyosis-derived pelvic dense adhesion [J]. Medicine (Baltimore), 2017, 96(19): e6880.